

Improve the performance of silicon detector in the UV radiation region using organic scintillation dye

تحسين أداء كاشف السيليكون في منطقة الأشعة البنفسجية باستخدام الصبغة العضوية الوميضية

أنفال هشام عبد الكريم ، جاسم محمد جاسم ، قصي محمد سلمان

جامعة بابل – كلية العلوم للبنات – قسم فيزياء الليزر

E-mail : jassimm2007@yahoo.com

الخلاصة

في هذا البحث تمت دراسة طيف الانبعاث والامتصاص لصبغة الفلورسين($C_{20}H_{10}O_5Cl$) المذابة في الايثانول ، وقد تم اختيار التركيز (M^{-2}) 10^{-2} للكشف عن الأشعة البنفسجية وذلك لامتلاكه أفضل طيف امتصاص وانبعاث مقارنة مع التراكيز الأخرى، كما لوحظ في هذا البحث إن صبغة الفلورسين المذابة في محلول الايثانول لها اثر واضح في تحسين أداء كشف الكاشف السيليكوني وخاصة في منطقة الأشعة البنفسجية حيث بينت النتائج إن القدرة الداخلة لها تأثير على زمن النهوض (rise time) حيث تغير من μs (8-16) عند القدر الداخلي mwatt (126-36) على التوالي وكذلك تغير الاستجابة الطيفية حيث وصلت إلى W/A 0.4A عند الطول الموجي 450nm.

المفتاح : كاشف السيليكون ، الأشعة فوق البنفسجية ، الصبغة العضوية ، زمن النهوض

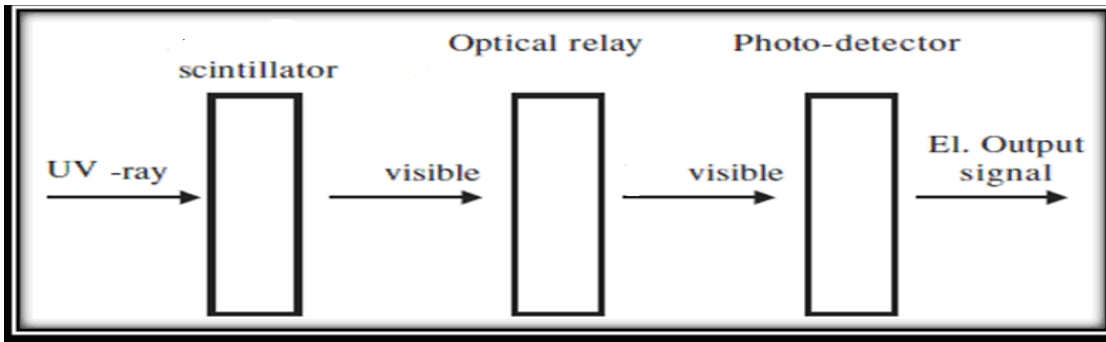
Abstract:

In this research the absorption and fluorescence spectra of Fluorescein dye ($C_{20}H_{10}O_5Cl$) which dissolved in ethanol have been studied. The concentration ($10^{-2} M$) has been chosen to detect the violet radiation due to its high absorption and fluorescence spectra among other concentrations. The research shown that Fluorescein dye dissolved in ethanol has good effect on silicon detector performance in violet radiation region. Result confirmed the input power has effect on rise time so it change from (8-16) μs with input power (126-36) mwatt respectively, the spectra response also changed so it reach (0.4 A/W) at wavelength 450 nm.

Key words : detector of silicon , UV radiations , organic dye , response time

1-المقدمة:

تعتبر الكواشف الوميضية من أقدم أنواع الكواشف حيث يمكن إن تستخدم لهذا الغرض الأفلام الفوتوغرافية وكذلك يمكن مشاهدة وتحسّس الناتج بالعين المجردة، مبدأ العمل لهذه الكواشف يعتمد على الإثارة الضوئية للمادة الوميضية والتي يمكن إن تكون على نوعين إما مادة عضوية (organic) والتي تم استخدامها في هذا البحث، أو مادة لا عضوية (Inorganic) [1]، حيث تتهبّج هذه المادة بفعل الإشعاع الساقط عليها ثم تعاود الالكترونات بالرجوع إلى المستويات الدنيا عن طريق فقد الطاقة على شكل إشعاع ضوئي وعادة ما يكون ضمن المدى VIS-[2] UV ، وبعد ذلك يتم استلام هذه الأشعة بواسطة متحسس ضوئي وعادة ما يستخدم الكاشف السيليكوني أو المضاعف الضوئي (Photo multiplier tube)[3]، الذي يحول الإشارة الضوئية إلى كهربائية يمكن التحسس بها عن طريق الأجهزة الالكترونية والشكل (1) يبيّن أهم الإجراء للكاشف الوميضي.

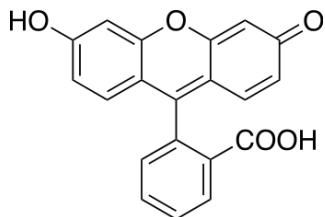


الشكل(1) يوضح المخطط لمكونات الكاشف الوميضي [4]

2-الجزء العملي:

2- 1 المواد المستخدمة في البحث

1- صبغة الفلورسين (Fluorescein) والتي لها الصيغة الجزيئية ($C_{20}H_{10}O_5Cl$) والوزن الجزيئي لها (g/mol 401.20) والمجهزة من شركة (Lambda physic)



التركيبة الجزيئية لصبغة الفلورسين

2- الايثanol (Ethanol) الصيغة الجزيئية (C_2H_5OH) والوزن الجزيئي (46.069 g/mol) وبنقاوة .99.9%.

2- 2 الاجهزه المستخدمة في البحث

1 - منظومة (2700 / UV-Visible Spectrophotometer) والمجهزة من شركة (CECIL) لقياس طيف الامتصاص للأشعة فوق البنفسجية والمرئية .

2 - منظومة (SL-174 spectrofluorometer) والمجهزة من شركة (Optimize) لقياس طيف الفلورة .

3- كاشف السيلكوني والمجهزة من شركة (Thorlabs.Inc)

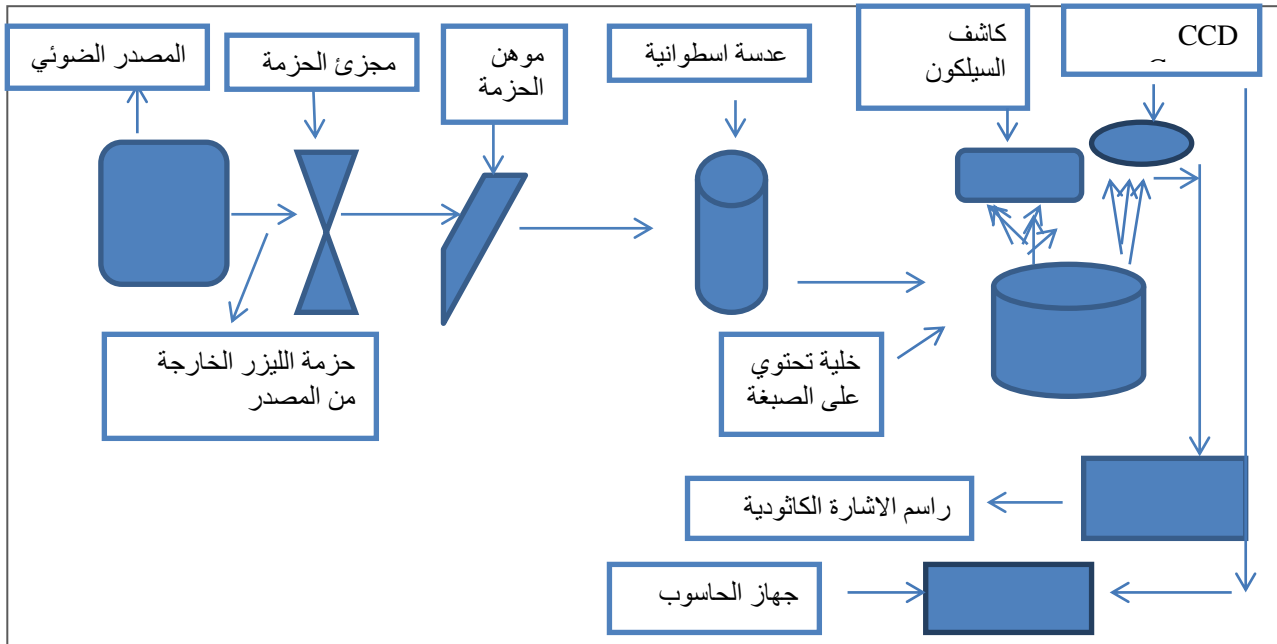
4-كاميرا (CCD) والمجهزة من شركة (Gentec Electro-Optics)

5- راسمة الأشعة الكاثودية نوع (digital Storage Oscilloscope) والمجهزة من شركة (GW Instek)

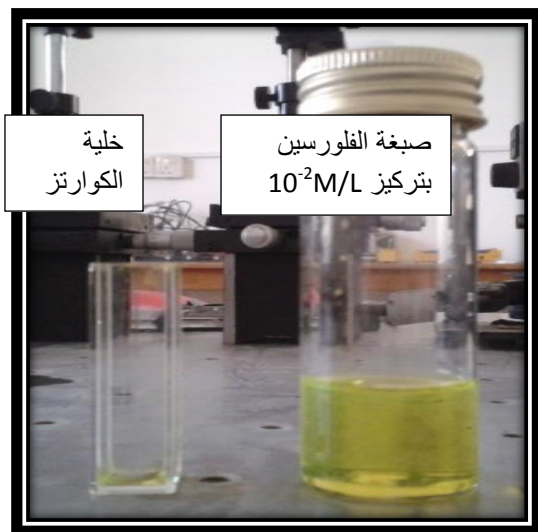
6 - مقطع حزمة الليزر والمجهزة من شركة (Ortec brookdeal)

2- 3 الإعداد التجاري لقياس أداء الكاشف السيليكوني في منطقة الأشعة البنفسجية

الشكل(2) يمثل أجزاء التجربة التي تم إعدادها لغرض كشف تحسين أداء الكاشف السيليكوني في المنطقة البنفسجية حيث تم إرسال شعاع ليزري بطول موجي مقداره (405nm) وبقدرة مقدارها (110mW) من خلال المقطع الضوئي الذي بدوره يقوم بتحويل الشعاع المستمر إلى شعاع نبضي بترددات مختلفة تتراوح ما بين (40-1000)HZ ثم يمر الشعاع بعد ذلك على موهنه بصري (optical attenuation) متعدد ومتغير لغرض التحكم في شدة الشعاع الساقط على العينة المراد اختبارها، ولغرض زيادة المساحة الساقطة على العينة المراد اختبارها تم استخدام عدسة اسطوانية (cylindrical lens) لغرض التحكم في مساحة المنطقة المثاررة من العينة والتي هي عبارة عن صبغة الفلورسين ويكون لون محلولها اصفر مائل إلى الخضراء عند أذابتها بالمذيبات العضوية[5]. تم تحضير صبغة الفلورسين بتركيز($M^2 \cdot 10^{-3}$) وذلك باستخدام (الايثanol)وكما مبين في الشكل(3) حيث وضع محلول داخل الخلية مصنوعة من مادة الكوارتز لكي تتجنب الخسائر التي تحدث من عملية الامتصاص. ولغرض توثيق الناتج تم استخدام كاشف سيليكوني مرتبط براسمة كاثودية خازنة للإشارة وكذلك تم استخدام كاميرا رقمية مرتبطة بحاسبة ذات برمجيات متخصصة.



الشكل(2) يوضح مخطط أجزاء تجربة قياس أداء كاشف السيلكون



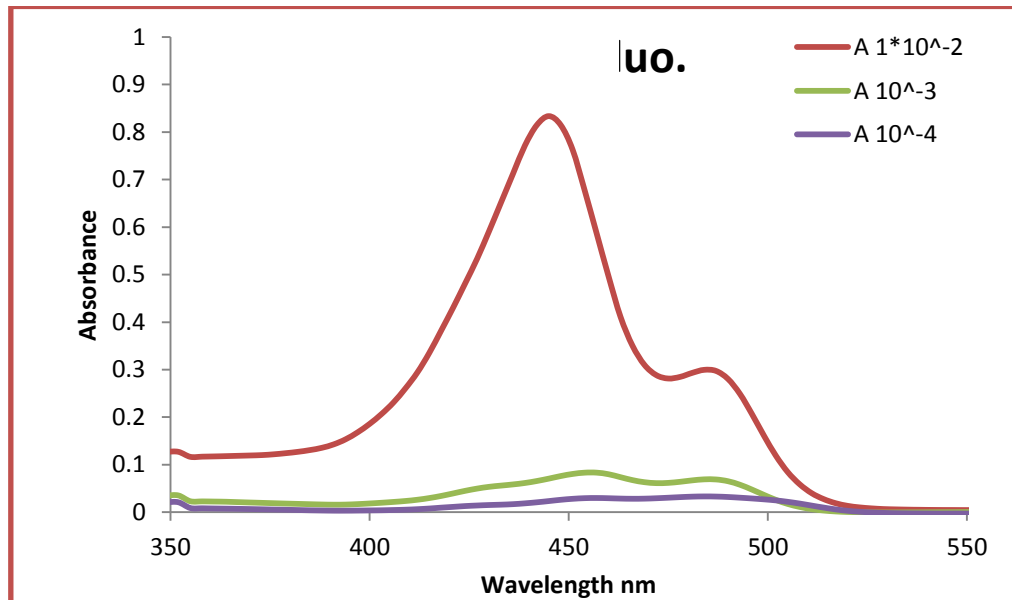
الشكل (3) يوضح صبغة الفلورسين وخلية الكوارتز

3- النتائج والمناقشة:

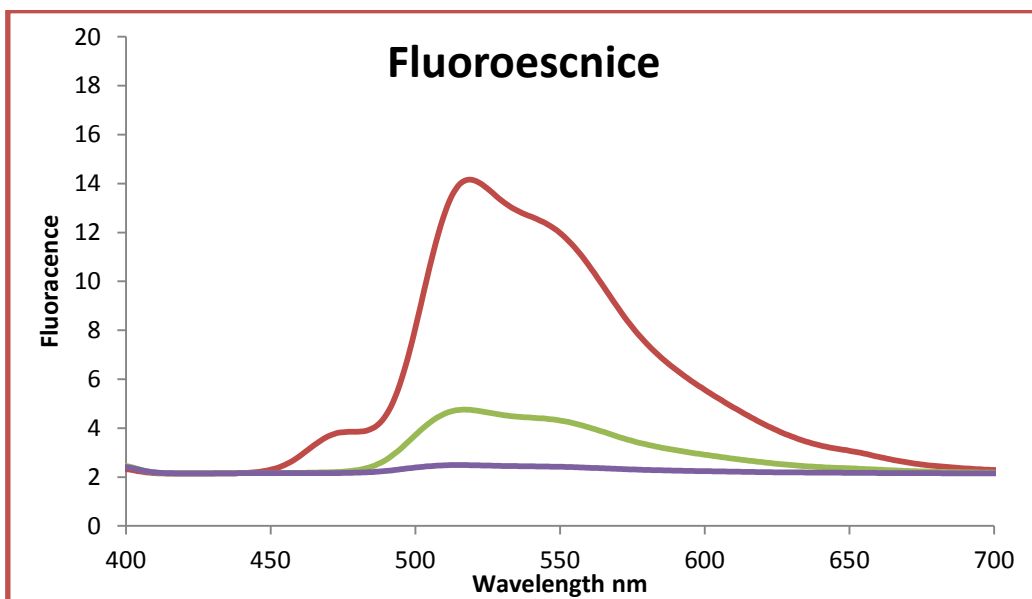
3- 1 طيف الامتصاص الفلور لصبغة الفلورسين المذابة في الايثانول

تم دراسة طيف الامتصاص والفلورة لصبغة الفلورسين بتراكيز مختلفة ($10^{-2}, 10^{-3}, 10^{-4} \text{ M}$) كما مبين بالشكل (4) والشكل (5) على التوالي، حيث نلاحظ إن صبغة الفلورسين لها طيف امتصاص عريض يمتد من (400-500) نانومتر وان أعلى قيمة للامتصاص عند الطول الموجي 445nm للتركيز (10^{-2} M) و 454 nm للتركيز (10^{-3} M) وهذه النتائج متوافقة مع ما توصل إليه الباحث روبرت [6] ، وأيضا نلاحظ إن قيمة التركيز ذات تأثير عالي على طيف الامتصاص حيث كلما زادت هذه القيمة زادت الامتصاصية حيث كان أعلى قيمة لها 0.83 عند الطول الموجي 445nm للتركيز (10^{-2} M) وهذا تماما يتلاءم مع قانون بير لامبرت، وأيضا نلاحظ قيمة طيف الامتصاص (Peak Absorption Spectral) يوصف باتجاه الإزاحة (shift) ذات الأقل طاقة بزيادة التركيز وهذا يتواافق مع ما توصل إليه الباحث راب والباحث قصي [7 and 8] . ولإيجاد الكفاءة الكمية لصبغة الفلورسين إلى العمر الزمني الإشعاعي وال عمر الزمني للفلورة يمكن اختبار هذه الصبغة من خلال رسم العلاقة ما بين معامل الامتصاص المولاري (Molar-absorption-coefficient) كدالة لعدد الموجي (Wave-number cm^{-1}) وكم مبين بالشكل(6) ، وتم احتساب معامل الامتصاص ($\alpha(\text{cm}^{-1})$) كما موضح بالشكل (7) حيث إن معامل الامتصاص cm^{-1} دالة لطاقة الفوتون (Photon-energy) () نلاحظ أن الامتصاص يكون قليلاً عند الطيفات الواطئة، وهذا يعني أن احتمالية الانبعاثات الإلكترونية تكون قليلة. حيث تكون طاقة الفوتون الساقط غير كافية لنقل الإلكترون من حزمة التكافؤ إلى حزمة التوصيل ($h\nu < E_g$) أما عند الطيفات العالية فإن الامتصاص يكون كبيراً وهذا يوضح الاحتمالية الكبيرة للانبعاثات الإلكترونية وعندها

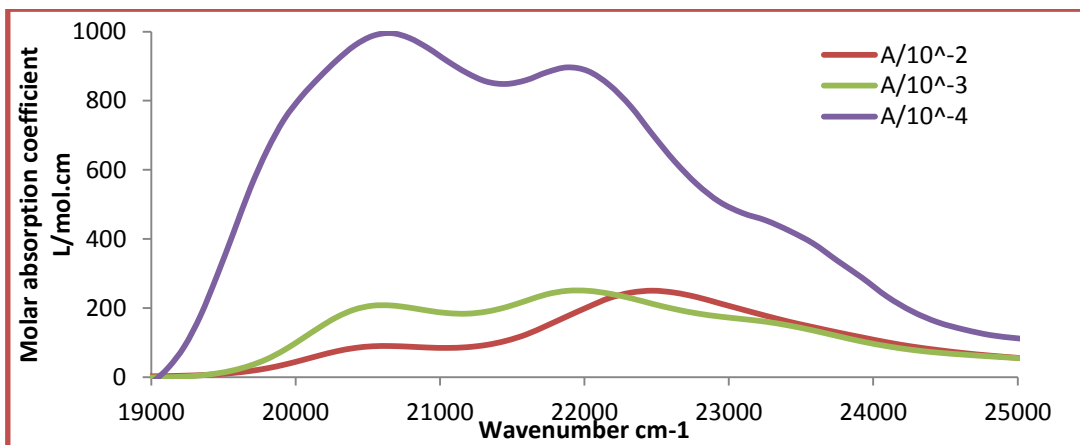
تكون طاقة الفوتون الساقط كافية لنقل الإلكترون من حزمة التكافؤ إلى حزمة التوصيل أي تكون طاقة الفوتون الساقط أكبر من فجوة الطاقة المحظورة. والجدول (1) يوضح أهم المعلومات التي تم إيجادها والتي تم من خلالها إيجاد الكفاءة الكمية حيث نلاحظ إن زيادة التركيز لها تأثير على الكفاءة الكمية حيث إن أعلى كفاءة كمية كانت عند التركيز ($M = 10^{-4}$).



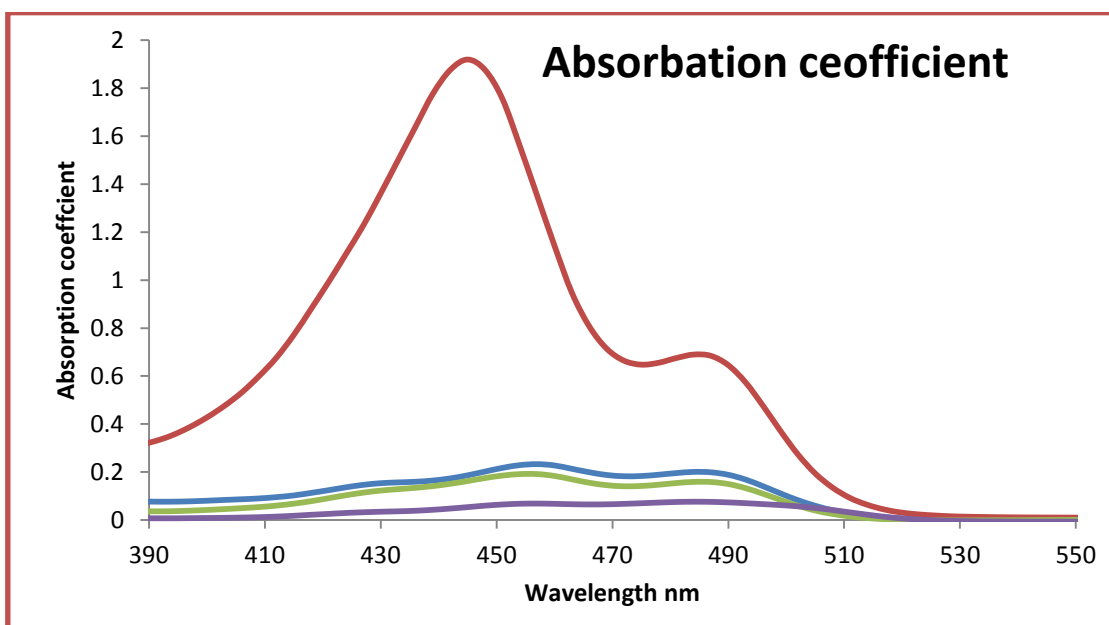
الشكل(4) يوضح طيف الامتصاص لصبغة الفلورسين



الشكل (5) يوضح أطيفات الفلورة لصبغة الفلورسين



الشكل (6) يوضح العلاقة بين معامل الامتصاص المولاري كدالة للعدد الموجي



الشكل (7) يوضح معامل الامتصاص لصبغة الفلورسين كدالة للطول الموجي

الجدول(1) يوضح الكفاءة الكمية وال عمر الزمني للفلورة و العمر الزمني للإشعاع وإزاحة ستوكس لصبغة الفلورسين

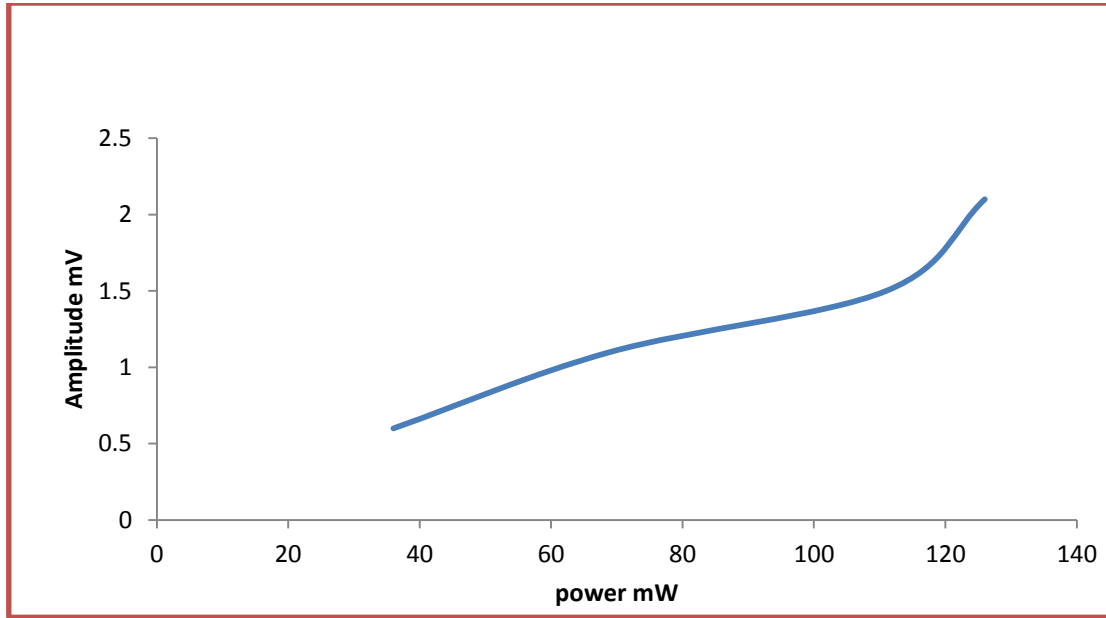
الكافأة الكمية Φ_{fm}	العمر الزمني للفلورة τ_f ns	العمر الزمني للإشعاع τ_{fm} ns	إزاحة ستوكس $\Delta\lambda = \lambda_{flo} - \lambda_{abs}$ nm	F_{max} nm	A_{max} nm	التركيز mol/L	ت
85.1%	4.31	5.07	62	516	454	1×10^{-2}	1
91.3%	8.76	9.60	58	512	454	1×10^{-3}	2
97.1%	14.4	14.9	56	510	454	1×10^{-4}	3

3-2 اختبار تأثير الصبغة على أداء الكاشف السيليكون

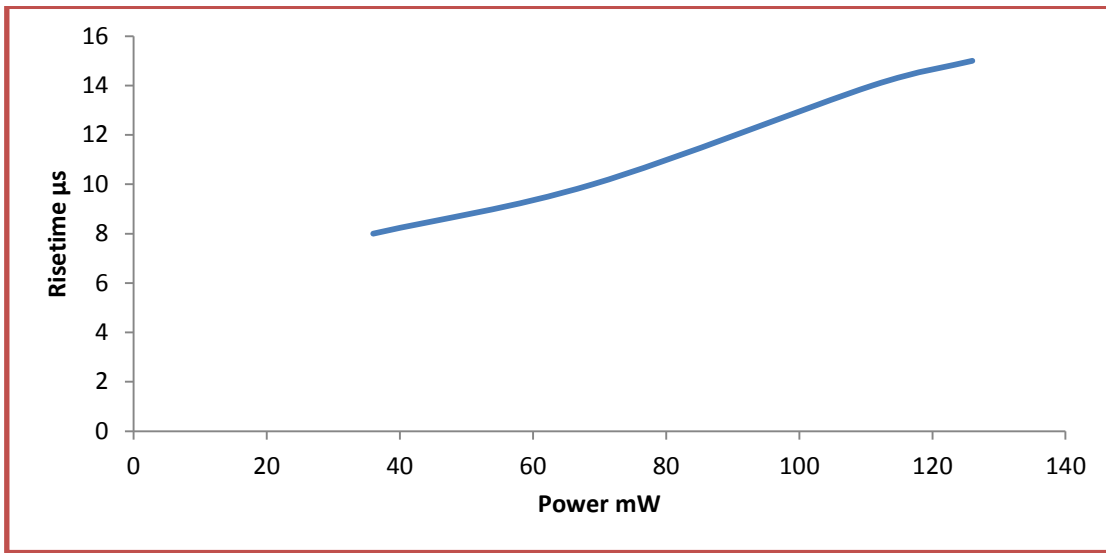
باستخدام الإعداد التجاريبي المبين أعلاه تم اختبار تأثير سائل صبغة الفلورسين على أداء الكاشف السيليكون الذي استخدم في هذا البحث، إن شكل النبضة الخارجية من الكاشف هي المعيار عن المعلومات المنقولة من خلاله وبشكل أدق زمن نهوض النبضة وזמן انحلالها. وبشكل عملي وجد إن قيمة مقدار الطاقة الداخلة والمؤدية إلى تفوير صبغة الفلورسين السائلة لها علاقة كبيرة في توليد نبضات قصيرة الأمد أو طويلة الأمد. حيث نلاحظ من الشكل رقم (8 &9) عند زيادة القدرة الداخلة نحصل على زمن نهوض للنبضة طويل وهذا متافق مع ما توصل اليه الباحث كابلن [9] ، وبذلك تكون الزيادة في القدرة الداخلة يؤدي إلى زيادة في عدد

مجلة جامعة كربلاء العلمية – المجلد الخامس عشر- العدد الثاني / علمي / 2017

الجزئيات المتهيجة وبالتالي يؤدي ذلك إلى بطء في نمو النبضة الضوئية حيث نلاحظ من خلال الشكل المذكور إن القدرة الداخلية إذا كانت بحدود $W = 126\text{mW}$ ينجم عنها زمن نهوض مقداره 15ms وإذا كانت بحدود $W = 36\text{mW}$ يكون زمن النهوض مقداره 8ms .



الشكل(8) يوضح العلاقة بين القدرة الداخلية وسعة النبضة الخارجية



الشكل(9) يوضح نوع العلاقة بين القدرة الداخلية وزمن نهوض النبضة الخارجية

وتجر الإشارة للتأكد من إن التأثير الناتج هو عن طريق سائل صبغة الفلورسين تم اختبار الكاشف بوجود خلية مصنوعة من مادة الكوارتز ولكن فارغة وكانت قيمة زمن النهوض والسعنة ثابتة بتغير الطاقة وبتغير التردد وكما مبين بالشكل (10)، حيث كانت قيمة السعة هي $C = 2.2\text{nF}$ وزمن النهوض هو $t_r = 16\mu\text{s}$.



الشكل(10) يبين زمن نهوض النبضة وسعتها عند التردد 40Hz بغياب صبغة الفلورسين.

ولتحسين أداء الكاشف السيلكون بشكل اكبر والاستفادة من الأشعة المستخدمة في ضخ سائل الصبغة السائلة تم استخدام مرآة عاكسة وضعت بمسافة خلف الخلية الحاوية لصبغة الفلورسين، وكان الناتج مؤكداً لما تم التوصل إليه سابقاً إن زيادة في قيمة القراءة الداخلية تؤدي إلى زيادة في زمن النهوض وكذلك أدت هذه المرأة في زيادة سعة النبضة الداخلية وهذا مؤشر جيد على زيادة في تحسين أداء الكاشف للأشعة ذات القدرة المنخفضة وأيضاً هذه النتيجة متوافقة مع ما توصل إليه الباحث ستويك [10] ، وكما مبين في الجدول(2) الذي يوضح علاقة سعة زمن النهوض للنبضة الخارجة بتغير عدد النبضات الداخلية.

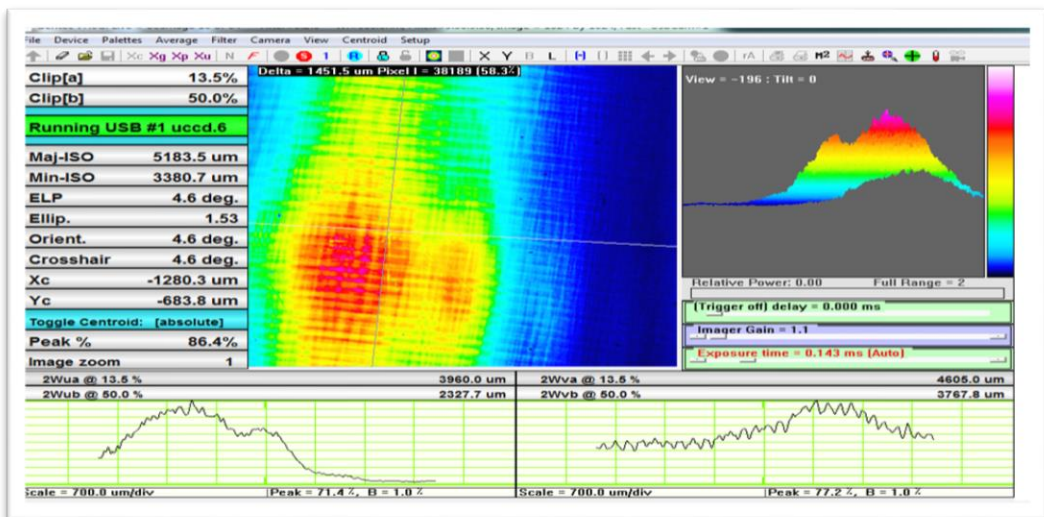
الجدول(2) يوضح زمن نهوض النبضة وسعتها بتغير عدد نبضات الإشارة الداخلية

في حالة وجود مرآة عاكسة		
Frequency (Hz)	Amplitude 500(mV)	Rise time (μsec)
40	5.1	20
80	5.2	16
120	5.5	14
160	5.5	18

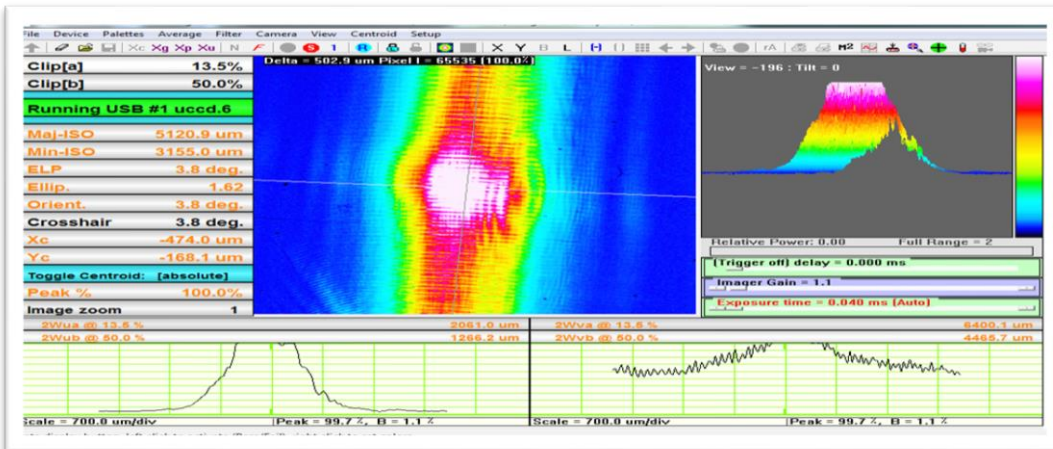
ومن الإثباتات التي كانت جداً مهمة والتي من خلالها لاحظنا إن أداء الكاشف السيلكون قد تحسن عند الكشف عن الأشعة فوق البنفسجية حيث تم جميع الاختبارات عند طول موجي مقاره 405nm ، إن الاستجابة الطيفية لكاشف السيلكون والتي كانت عند ذلك الطول ألموجي هي تقريباً 0.1 A/W قد تحسنت مع استخدام السائل المتنقلor لتصبح بحدود 0.4 A/W .

3- شكل الشعاع الخارج من الصبغة المتفورة

يبين الشكل 11 (a & b) الشعاع الخارج من سائل صبغة الفلورسين عند ضخها بطول موجي (405nm) وبطاقات مختلفة حيث نلاحظ إن شكل الشعاع الناتج ذات حزمة عريضة وعدد أنماط الخارج كثيرة وهذا بدوره يدل على إن الشعاع الخارجي هو ضوء طبيعي يتولد بحالة الانبعاث التلقائي وكما مبين إن الشدة الخارجية بهذا الشعاع مرتبطة بقيمة الطاقة الداخلية وهذه النتيجة متوافقة مع اشاره إليه الباحث مارك [12] .



(a)



(b)

الشكل(11) يوضح الشعاع الخارجي عند ضخه بطول موجي 405 nm وبطاقات مختلفة

4 – الاستنتاج

في هذا البحث تم التأكيد على إن صبغة الفلورسين ($C_{20}H_{10}O_5Cl$) المذابة في محلول الإيثانول لها اثر واضح في تحسين أداء كشف الكاشف السيليكوني. حي بينت النتائج إن القراءة الداخلية لها تأثير واضح على كل من زمن النهوض(rise time) والاستجابة الطيفية spectra Responsivity للكاشف السيليكون. كذلك أكدت الدراسة على إن كل من الشدة وشكل الشعاع الخارج من سائل صبغة الفلورسين عند ضخها بطول موجي (405nm) مرتبطة بقيمة بشكل وثيق مع الطاقة الداخلة لصبغة الفلورسين.

المصادر:

- 1- G.F. Knoll, Radiation Detection and Measurement - 3rd edition (Chapters 16 to 18), John Wiley & Sons, 1999.
- 2 - Frank . J. Duarte , Lloyd W . Hillman , "Dye Laser Principles with Applications", Academic Press ,Inc. ,1990 .
- 3- Neamen, D. A, " Semiconductor Physics and Devices" , 3rd ed. New York: McGraw-Hill, 2003
- 4 - Martin Nikl, "Scintillation detector" , Meas.Sci.Technol.No.17,PP 37-54, 2006
- 5 - David R.Lide (Handbook of Chemistry and Physics) -84 Edition-CRC PRESS-LLC-2004
- 6- Robert sjoback , "Absorption and fluorescence properties of flouresin", Spectrochimica A , no. 5 , pp. L7- L21, 1995
- 7- Rapp c.f. and Boling N.L " Fluorescent Concentrator Proc 13 ", IEEE Photovoltaic . Spec . conf . Washington , 1978
- 8- Qusay Raghib Ali, " Photobleaching Spectroscopic Studies and lifetime Measurements of Fluorescent Organic Dyes " Ph.D. thesis , College of Science,University of Baghdad, 2013
- 9- V .A . Kaplin , E.F. Makliaev and Y.A. Melikyan , "Time and amplitude of large scintillation detector with SiPM" , Physica procedia , no. 74 , pp. 232 -237, 2015
- 10- A. Stoykov, R. Scheuermann, K. Sedlak, "A time resolution study with a plastic scintillator read out by a Geiger-mode avalanche photodiode", Nucl. Instrum. Methods A 695 pp. 202–205, 2012
- 11- U. Resch-Genger, K. Hoffmann, W. Nietfeld, A. Engel, J. Neukammer, R. Nitschke, B. Ebert, and R. Macdonald, “How to improve quality assurance in fluorometry: fluorescence-inherent sources of error and suited fluorescence standards,” Journal of fluorescence, vol. 15, pp. 337–62, 2005.
- 12- Marc G. Paff n, Shaun D. Clarke, Sara A. Pozzi, "Organic liquid scintillation detector shape and volume impact on radiation portal monitors" ,Nuclear Instruments and Methods in Physics Research A , no.825 ,pp , 31-39,2016